

## **TERMİK SANTRAL KÜLÜNÜN AYAK ARKASI YANGINLARINA KARŞI KULLANILMASI VE GÖTÜRÜCÜNÜN DİZAYNI**

**THE USE OF THERMAL POWER PLANTS ASHES AGAINST THE  
COMBUSTION OF LEAVED COALS IN CAVED AREA LONGWALLS  
AND DESIGN OF THE TRANSPORTER**

**Rifat DAĞDELEN**, *Türkiye Taşkömürü Kurumu, Zonguldak*

**Tuncer ÖZKAN**, *Bartın*

**Haşim DEMİRLER**, *Türkiye Taşkömürü Kurumu, Zonguldak*

**Cüneyd YAMUDİ**, *Türkiye Taşkömürü Kurumu, Zonguldak*

### **ÖZET**

Bu tebliğde; Türkiye Taşkömürü Kurumu'nda (TTK) uygulanmakta olan uzun ayak üretim sisteminde yangınları önlemek için tasarlanan ayak arkasına kül püskürtme sistemi ve Amasra Taşkömürü Müessesesindeki uygulaması açıklanmaktadır.

### **ABSTRACT**

In this paper, in order to prevent the combustion of leaved coal in caved area of longwalls, the new designed sprinkler system in clouding thermal power plant ashes is explained and applications of this system are given for Amasra District.

## 1. GİRİŞ

Yeraltı kömür madenciliğinde kömürün kendiliğinden yanabilirliği madenciliğin en önemli sorunlarından biridir. Bu sorun emniyetli çalışma ortamını ortadan kaldırılmaktır ve ardından da madenciliğin amacı olan ekonomik değer oluşturma faaliyetlerini olumsuz etkilemektedir. Belirtilen bu iki önemli sebepten ötürü önlem alınanın önceliği ve hassasiyeti artmaktadır. Bu anlayışla, tasarım ve imalatı tamamıyla TTK'nın kendi olanakları ile yapılmış olan Götürücüün tasarım parametreleri ve teknik özelikleri verilecek ayrıca sistemde örtü malzemesi olarak kullanılan termik santral külü uygulaması konu edilecektir.

## 2. OCAK YANGINLARI

Oluşum şekline göre ocak yangınları *eksojen* ve *endojen* yangınlar olmak üzere ikiye ayrılır. *Eksojen yangınlar*; yüksek sıcaklık sonucu meydana gelir, ısı kaynağı yanan ortamın dışındaki başka bir kaynaktır. *Endojen yangınlar*; kömürün kendi kendine kıızışması sonucu meydana gelir ve dış ısı kaynağının rolü yoktur. Endojen ocak yangınlarına etki eden faktörler ise aşağıda sıralanmıştır (Güney, 1965):

- Kömürün fiziko-kimyasal ve petrografik özellikler (küükürt yüzdesi, rutubet, tane büyülüğu, kimyasal bileşenler, kalorifik değeri),
- Yeraltı koşulları (ocak havası sıcaklığı, ocak rutubeti, oksijen konsantrasyonu)
- İşletme yöntemi,
- Havalandırma sistemi ve hava akımının miktarı,
- Kömür damarı ve tabakalarının durumu,
- Tahkimat cinsi vb. leridir.

### 2.1. Kömürün Kendiliğinden Yanması İle İlgili Kuramlar

Literatüre göre kömürün kendiliğinden yanması ile ilgili araştırmalar 1686 yılında Dr. Plot ile başlamış olup, yanın ve patlamaların sebebi olağanüstü nedenlere bağlanmıştır. Daha sonra kömürün kendiliğinden yanması ile ilgili teoriler ortaya çıkmıştır. İlk bilimsel teori "pirit kuramı" olarak tarihe geçmiştir. Bu kuramı daha sonra

- Bakteri kuramı,
- Oksidasyon kuramı,
- Nem kuramı,

izlemiştir. Tüm bu kuramlar içinde oksidasyon kuramı birçok araştırmacı tarafından desteklenmiş ve kendiliğinden yanmanın sebebi olarak kabul görmüştür (Eroğlu ve Gouws, 1993).

Kömürün kendiliğinden yanmasıyla ilgili olarak, genelde, kabul edilen teori, uygun atmosferik koşullarda kömürün oksijeni absorbe etmesine dayanmaktadır (Oksidasyon kuramı) Kömür ile oksijen arasında dışa isiveren bir kimyasal tepkime söz konusudur.

Kömür yüzeyleri havayla temas eder etmez oksidasyon olayı başlamaktadır. Ocakta, normal koşullar altında, dışa verilen ısı alınmakta ve oksidasyon, yavaş bir biçimde ve bir kıızışma tehlikesi doğurmaksızın sürmektedir. Ancak, bazı durumlarda dışa verilen

ısı, ortamdan uzaklaşamamakta ve sıcaklık giderek artmaktadır. Sıcaklık arttıkça ve ortamda yeterli oksijen de varsa oksidasyon hızı artmakta ve buna bağlı olarak kömürün sıcaklığı yükselmektedir. Kömürün tutuşma sıcaklığına (kritik sıcaklık) ulaşıldığında ise, yanma olayı gerçekleşmektedir (Didari, 1986).

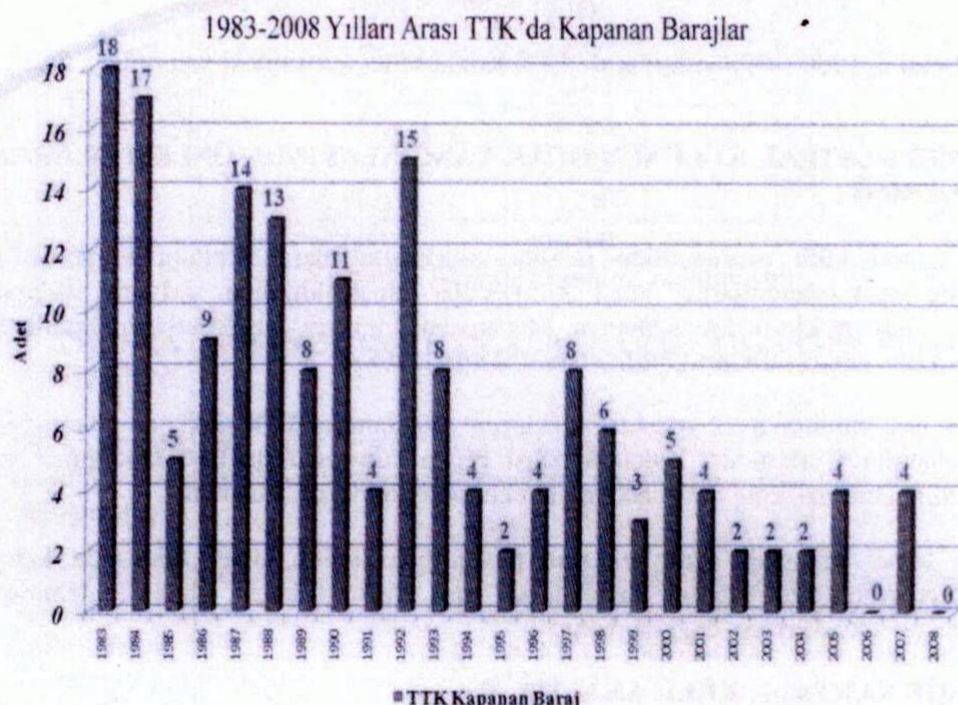
## 2.2. Türkiye Taşkömürü Kurumunda Ocak Yangınları

Son çeyrek asırda TTK'da pano kapatmaya kadar varan yangınlar incelendiğinde; pano kapatmak amacı ile 172 adet barajın yapıldığı görülmektedir (Şekil 1).

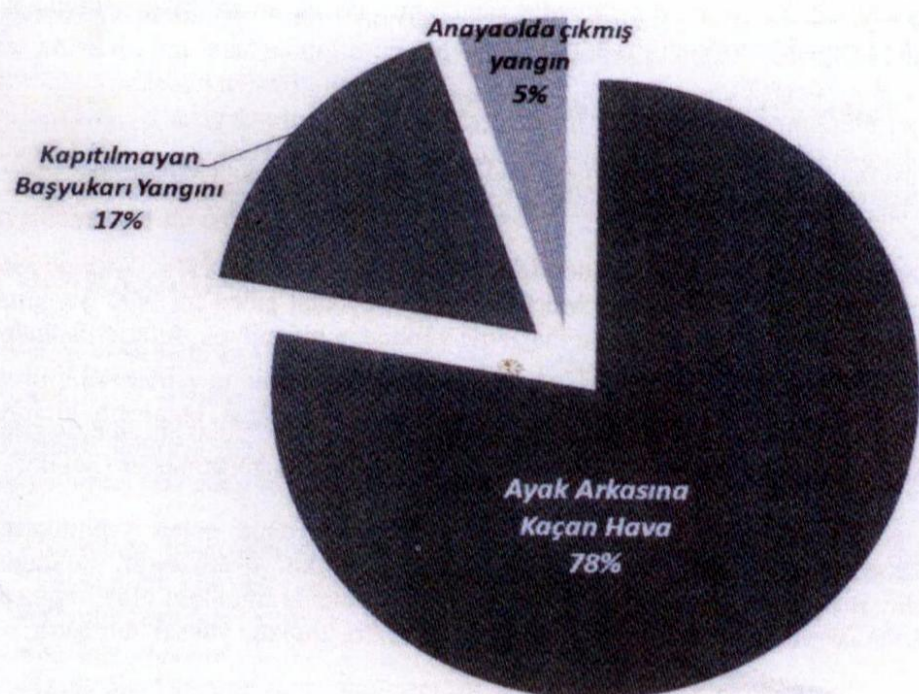
Bir ocak yangınının yarattığı maliyet maden işletme için oldukça yüksektir. Yapılan bir araştırmada; 1988 yılında TTK Kozlu Müessesesinde meydana gelen bir ocak yangını sonucu oluşan zararın, üretim, işçilik ve malzeme yönünden bir milyon doların üstünde olduğunu hesaplamıştır (Değirmenci, 1992).

1980-1990 yılları arasında TTK Kozlu Müessesesinde oluşan yangınlar incelendiğinde 18 yangından 14'nün ayak arkasına kaçan havadan kaynaklandığı görülmüştür (Şekil 2).

Şekil 2'de göçertmeli uzun ayak işletme yönteminde meydana gelen yangınların %78'inin sebebinin "arkaya kaçan hava sonucu oluşan oksidasyon" olduğu görülmektedir. Bu soruna karşı alınan önlemler, ayak arkasında mümkün olabildiğince kömür bırakmamak ve bununla beraber ayak ilerleme hızını oldukça yüksek tutmaktadır.



Şekil 1. 1983-2008 yılları arası yangın sonucu kapanan panoların yıllara göre dağılımı.



Şekil 2. 1980–1990 yılları arası TTK Kozlu Müessesesindeki yangınlar.

### **3. TERMİK SANTRAL KÜLÜNÜN OCAK YANGINLARINDA ÖNLEM OLARAK KULLANIMI**

Termik santral külü madencilikte ramble malzemesi olarak kullanılabilir. Literatürde ocak yangınlarına karşı kimyasallar araştırıldığında sodyum silikatin (Fransa), kalsiyum klorür’ün (Almanya, Macaristan, İngiltere) ve boratların (İngiltere) laboratuarlarda araştırıldıkları görülmektedir (Didari, 1988).

Termik santral külünün ayak arkasına püskürtme uygulaması, TTK’daki son dönem Ar-Ge çalışmalarının ürünüdür. Yukarda bahsi geçen kimyasallarla kıyaslandığında ise uçucu külü, atık malzeme oluşu nedeniyle ekonomikliği söz konusudur.

Sistemin temel prensibi, ayak arkasına püskürtülen külü, ayak arkasında kalan alınamamış kömürlerin üzerini kaplayarak, ayak arkasına kaçan hava ile temasını önlemek, yani oksidasyonu engellemektir.

### **4. TERMİK SANTRAL KÜLÜ ANALİZİ**

Sistemde kullanılmakta olan Çatalağzı-B Termik Santral külünün E.U.A.Ş. Teknik Kontrol ve Laboratuarları İşletme Müdürlüğünde yapılmış olan analizi Çizelge 1’de verilmiştir. Kullanılan külün filtre çıkışı elek analizi ise Çizelge 2’de verilmiştir.

Çizelge 1. Çatalağzı-B termik santral külüne ait kimyasal analiz sonuçları.

Yapılan Analizler	SiO <sub>2</sub>	Fe <sub>2</sub> O <sub>3</sub>	TiO <sub>3</sub>	Al <sub>2</sub> O <sub>3</sub>	CaO	MgO	Na <sub>2</sub> O	K <sub>2</sub> O	SO <sub>3</sub>	P <sub>2</sub> O <sub>5</sub>	Yanma Kaybı
	TS 639	TS 639	TS 639	TS 639	TS 639	Alev Fotometrisi	TS 639	TS 639	TS 639	TS 639	TS 639
Numune	Sonuçlar %										
1. Ünite külü	54,21	5,94	0,98	26,43	3,39	5,33	0,69	1,84	0,01	0,11	1,05
2. Ünite külü	55,84	6,71	1,30	24,19	3,04	5,21	0,61	1,60	0,81	0,11	0,97

Çizelge 2. Santral külünün elek analizi.

Filtre çıkışlı uçucu kül elek analizi	
Bakiye (%)	Elek (mm)
52,66	0,045
15,8	0,063
18,5	0,125
11,23	0,250
1,81	0,500

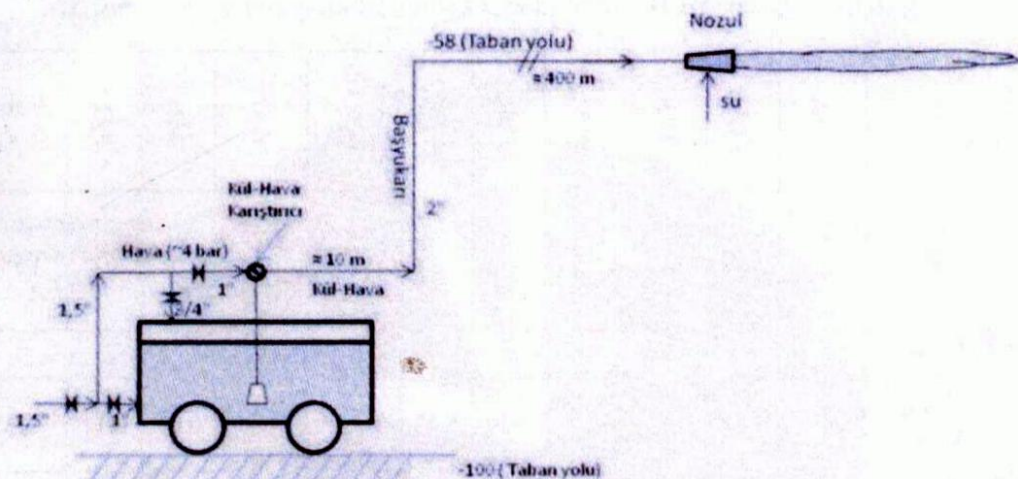
Yoğunluk ise 1,0835 ton/m<sup>3</sup> ölçülümuştur

## 5. AMASRA MÜESSESESİ İÇİN KÜL NAKİL ARACININ "GÖTÜRÜCÜ" DİZAYNI

Ocak yangınlarına karşı santral külü uygulaması Türkiye de ilk olarak TKİ Ege linyitleri Soma işletmesinde gerçekleştirilmiş olup, taşıma işlemi gravite yöntemi ile sağlanmıştır.

TTK Amasra Müessesesinde bir ayakta kızışma olabileceği ihtimali üzerine, üretim panosuna kül tatbiki uygulanması planlanmış ve TKİ Soma işletmesindeki uygulamadan farklı olarak külü uygulama noktasına kadar transfer için yeni bir Götürücü'nün (transfer aracı) dizaynı gerekmıştır (Şekil 3).

Götürücü -100 kotunda alt taban yolunda duracak, kül başyukarı içinden -58 kotuna kadar dikey olarak çıkarılıp -58 kotuna yatay olarak 400 metre nakledilecektir.



Şekil 3. Amasra Müessesesi için tasarlanan kül götürüçünün dizaynında kullanılan mekansal veriler.

### 5.1. Pnömatik Transport Sistemlerinin Hesap Esasları (Götürücü Dizaynı)

Dökme malzeme taşıyan bir pnömatik transport sistemi saatte ton olarak istenen  $Q$  kapasitesine, uzunluğa ve borunun yörunge diyagramına bağlı olarak tasarlanır. Tasarımda, taşınan yükün fiziksel ve mekanik özellikleri de önemli bir rol oynar. (İmrak, 2009).

Bir pnömatik transport sisteminin hesabında belirlenmesi gereken en önemli parametreler

- Hava tüketimi  $V_{hava}^3$  [m<sup>3</sup>/s],
- Hava basıncı  $P^2$  [kg/cm<sup>2</sup>] ve
- Taşıma borusunun iç çapı  $d_b$  [m] dir.

Pnömatik taşıma sürecini niteleyen ikinci derece parametreler de ayrıca belirlenmelidir. Bunların arasında,

- İndirgenmiş taşıma uzunluğu  $L_{ind}$  [m],
- Karışımın  $\mu$  ağırlık konsantrasyonu,
- Malzeme parçacıklarının  $v_k$  kaldırma hızı [m/s],
- Boru içindeki hava akımının hızı  $v_{hava}$  [m/s] vardır.

Hesaplar genellikle işletme ve test birimlerindeki deneylerden elde edilen verilere dayanır. İndirgenmiş taşıma uzunluğu, taşıma borusunun geometrik uzunluğu ile eşdeğer uzunlıklarının toplamı olarak elde edilir.

Bir yerel direncin eşdeğer boyu, içinde malzeme sürükleyen bir hava akımından dolayı bu dirence eşit bir basınç kaybı meydana gelen yatay ve düz bir boru parçasının boyudur.

## 5.2. İndirgenmiş Götürme Uzunluğu (Tasarım Eşdeğer Uzunluk Hesabı)

Hesaplamalarda götürücü hortumun düşeyde ve yatayda, ayrıca içerdeği dirsek ve vana sayısına göre eşdeğer uzunlukları hesaplanır.

$$L_{ind.} = \sum L_{yat} + \sum L_{düş} + \sum L_{eşd.d} + \sum L_{eşd.v} \quad (1)$$

$\sum L_{yat}$ : toplam yatay götürme uzunluğu (m)

$\sum L_{düş}$ : toplam düşey götürme uzunluğu (m)

$\sum L_{eşd.d}$ : dirseklerin top. eşdeğer uzunluğu (m)

$\sum L_{eşd.v}$ : vanaların top. eşdeğer uzunluğu (m)

$$\sum L_{yat} = 410 \text{ m}$$

$$\sum L_{düş} = 42 \text{ m}$$

$R_0$ - Dirseklerin eğrilik yarıçapı,

$d_b$ - Götürme borusunu iç çapı,

$$R_0/d_b = 6 \text{ (kabul)}$$

Çizelge 3'de pudra özelliği seçilmiş olup, dirsek eşdeğer uzunluğu ise 10 (m) olarak değerlendirilmiştir.

Çizelge 3. Dirsekler için eşdeğer uzunluklar ((Spivakovsky vd., 1976).

Malzeme	Ro / db oranına göre $L_{eşd. d}$ Değeri (m)			
	4	6	10	20
Pudra	4-8	5-10	6-10	8-10
Homojen taneli	-	8-10	12-16	16-20
Küçük parçalı düzgün	-	-	28-35	38-45
İri parçalı düzgün	-	-	60-80	70-90

$$\sum L_{esd,d} = 10 \text{ m}$$

Sistemde kullanılan götürme borusu özel olup sürtünme katsayısı en aza indirilmiştir. Bükülebilir bölümlü dirsek sayısı 2 olup, götürme borusunda vana kullanılmamıştır.

$$L_{ind.} = 472 \text{ m}$$

### 5.3. Götürme Hava Hızı, Gerekli Hava Hızının Hesabı

Pnömatik ya da havalı konveyörler; dökme malzemeleri ya da özel taşıyıcılar içinde birim yükleri, bir kanal içinde hareket eden hava akımıyla iletimde kullanılırlar. Pnömatik transport makinalarının hepsinde ortak olan çalışma ilkesi, hareketin hızlı bir hava akımı tarafından yükle iletilmesidir (İmrak, 2009).

Hava hızı,

$$v_k = K \sqrt{\frac{\gamma_y}{\gamma_{hava}}} \alpha' \quad (2)$$

denkleminden hesaplanır.

$\gamma_y$  ; yük parçacıklarının özgül ağırlığı ( $t/m^3$ )

$\gamma_{hava}$  ; havanın k özgül ağırlığı ( $kg/m^3$ )

$\alpha'$  ; yük parçacıklarının boyutu (m)

K; yük parçacığının biçimine, boyutlarına ve yüzey koşullarına bağlı bir katsayı olup, küre biçimindeki parçacıklar için  $K= 10-170$

Küçük parçacık çapı için K katsayısının küçük değerleri alınır.

Havanın atmosfer basıncındaki özgül ağırlığı

$\gamma_{hava} : 1,2 \text{ kg/m}^3$

Düşey boru bölümlerindeki ek hava sütununun basıncı hesaplanırken  $\delta_{hava}$  nin basıncılı sistemlerde  $\delta_{hava}$  dan (atmosferik basınçtaki özgül ağırlık) büyük ve emmeli sistemlerde ise  $\delta_{hava}$  dan küçük olduğu dikkate alınmalıdır.

İlk hesaplamalar için yüksek basıncılı emmeli sistemlerde ise;

$\gamma'_{hava} = 0,8 - 0,95 \text{ kg/m}^3$  arasında alınır.

Atmosfere yakın basınçtaki bir boru bölümünde yani bir basıncılı götürürünün boşaltma ya da bir emmeli götürürünün emme ağzında,

$\gamma_{\text{hava}} = \text{sabit} = 1 \text{ kg/m}^3$  iken,

gerekli hava hızı aşağıdaki denklemden hesaplanır.

$$v_{\text{hava}} = \sqrt{\gamma_y} + B \cdot L_{\text{ind}}^2 \quad (3)$$

$$v_{\text{hava}} = 14,5 \text{ } (\text{m/sn})$$

Bu denklemde;

$\alpha$ ; yük parçacıklarına bağlı ve onların boyutlarıyla artan katsayı,  $\alpha = 10$  (kabul, Çizelge 4),

$\gamma_y$ ; yük parçacıklarının özgül ağırlığı ( $\text{t} / \text{m}^3$ )

$$\gamma_y \approx 1 \text{ ton/m}^3$$

B - Katsayı

$B = (2-5) \cdot 10^{-5}$  olup kuru pudra malzemelerde düşük değerler alınır, yani  $2 \cdot 10^{-5}$  kabul edilir.

Çizelge 4. Yük parçacıklarının boyutlarına göre  $\alpha$  katsayısının değerleri (Spivakovsky vd., 1976).

Malzeme	Max. Parçacık ölçüsü $\alpha$	$\alpha$
Pudra	1-1000 $\mu$ (mikron)	10-16
Homojen taneli	1-10 mm	17-20
Küçük parçalı, homojen	10-20 mm	17-22
Orta parçalı, homojen	40-80 mm	22-25

#### 5.4. Karışımın Ağırlık Yığılması

Hava ve malzeme karışımının ağırlık yığılması (konsantrasyonu)  $\mu$ , donanımın ağırlıkça kapasitesinin, malzemeyi götürmek için gerekli hava miktarına (ağırlıkça) oranıdır. Bu matematiksel olarak ifade edilirse:

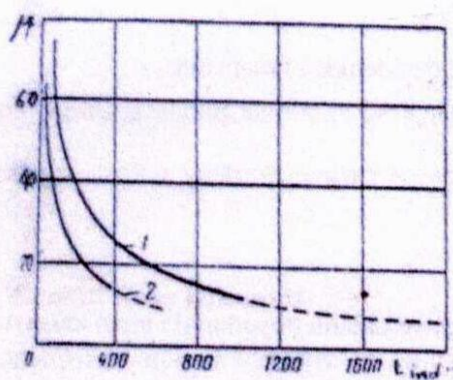
$$\mu = \frac{Q}{3,6 \cdot \gamma_{\text{hava}} \cdot v_{\text{hava}}} ; \text{ kg malz / kg hava} \quad (4)$$

$Q$ ; Donanımın kapasitesi (ton/saat)

$\gamma_{\text{hava}}$ ; havanın özgül ağırlığı ( $\text{kg/m}^3$ )

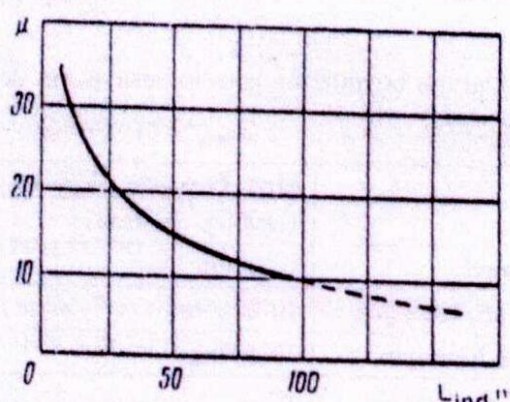
$V_{\text{hava}}$ ; hava tüketimi ( $\text{m}^3/\text{sn}$ )

Mevcut donanımların çoğunuğunda, karışımın  $\mu$  yığılması, transporte borusunun  $d_b$  çapına,  $p$  basıncına ve  $L_{\text{ind}}$ 'indirgenmiş transporte boyuna bağlıdır.



Şekil 4. Karışımın ağırlık yığılmasının indirgenmiş götürme uzunluğuna bağımlılığını gösterir grafik (Spivakovsky vd., 1976).

Şekil 4'de [1. eğri kuru ve serbest akışlı, özgül ağırlığı yüksek malzemeler ( $\gamma_y = 2,5-3,2 \text{ t/m}^3$ ) için; 2.eğri düşük özgül ağırlıklı ( $\gamma_y = 1,8-2,5 \text{ t/m}^3$ ) ancak yüksek nem miktarı ve çok aşındırıcı malzemeler için]



Şekil 5. Karışımın yığılmasının  $L_{ind}$  indirgenmiş götürme uzunluğuna bağımlılığını gösterir grafik (tahıl için) (Spivakovsky vd., 1976).

Her donanım tipi özgül hava basıncında çalıştığından örneğin yüksek basınçlı bir götürme düzeneinde  $p=2,5-5 \text{ kg/cm}^2$  orta basınçlıda  $p=1,3-2,2 \text{ kg/cm}^2$  emmeli götürme düzeneğinde  $p=0,2-0,45 \text{ kg/cm}^2$  alınır. Sonuç olarak, hesaplanan donanımın tümüne karşılık olarak verilmiş bir basınçta karışımın  $\mu$  ağırlık yığılması, eşdeğer  $L_{ind}$  götürme uzunluğuna göre belirlenmelidir.

$$L_{ind} = 472 \text{ m için (Şekil 4)}$$

$$\mu \cong 23 \quad [(\text{kg malz}) / (\text{kg hava})] \text{ (Şekil 4)}$$

### 5.5. Gerekli Hava Tüketimi

Transfer işleminin gerçekleşebilmesi için gerekli hava tüketiminin hesabı ise;

$$v_{hava} = \frac{Q}{3,6 \cdot \gamma_{hava} \cdot \mu} \quad (5)$$

$Q = 3$  ton/saat alınmıştır.

$v_{hava} \cong 0,03 \text{ m}^3/\text{sn}$  olarak hesaplanır.

### 5.6. Götürme Borusunun İç Çapı

Tank içerisindeki malzemenin hortum ucundaki nozule kadar olan kısmın, başka bir deyişle kullanılan götürme borusunun iç çapının hesaplanması ise

$$d_b = \sqrt{\frac{4 \cdot V_{hava}}{\pi \cdot v_{hava}}} \quad (6)$$

$$d_b = \phi 50 \text{ mm}$$

### 5.7. Götürme Borusunun Başlangıcında (Girişinde) Gerekli Hava Basıncı (Mutlak Basınç)

Basınçlı götürme düzenleri için

$$p_g = \sqrt{1 + \frac{\beta \cdot \mu \cdot L_{ind} \cdot v_{hava}^2}{d_b}} \mp P_{kes.} \quad (7)$$

(ata , mutlak basınç bar (a))

Eğer malzeme H yüksekliğine kaldırılacaksa, yalnız sürtünme kayıpları değil hava – malzeme sütununun boru kesitine indirgenmiş birim ağırlığı da hesaba katılmalıdır. Yani,

$$P_{kes} = \frac{H \cdot \gamma_{hava} \cdot \mu}{10^4} \quad \text{kg/cm}^2 \quad (8)$$

verilen düşey bölüm için ortalama havanın özgül ağırlığı;  $\gamma_{hava}$ ; düşey boru bölümlerindeki ek hava sütununun basıncı hesaplanırken  $\gamma_{hava}$ nın basınçlı sistemlerde  $\gamma_{hava}$  dan (atmosferik basınçtaki özgül ağırlık) büyük ve emmeli sistemlerde ise  $\gamma_{hava}$  dan küçük olduğu hatırlanmalıdır. İlk hesaplar için;

yüksek basınçlı sistemlerde

$$\gamma_{hava} = 1,6-2 \text{ kg/m}^3$$

emmeli sistemlerde,

$$\gamma_{hava} = 0,8-0,95 \text{ kg/m}^3 \text{ alınır.}$$

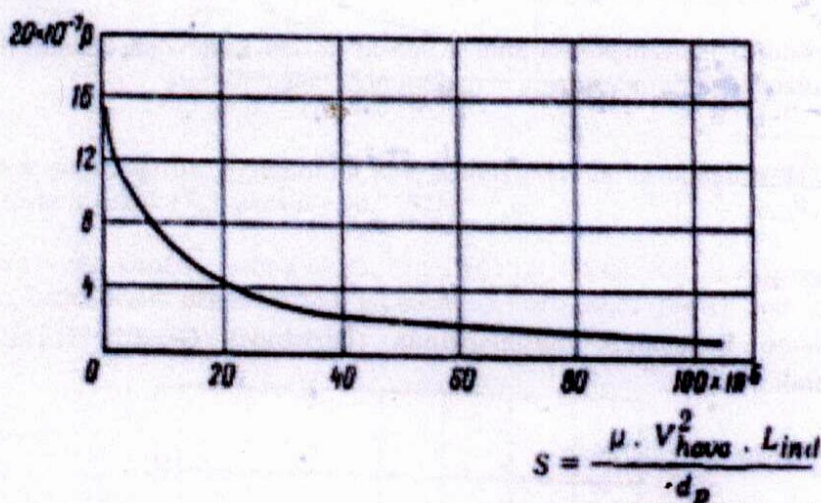
$$\gamma_{hava} = 1,8 \text{ kg/m}^3 \text{ (kabul)}$$

$\beta$  katsayısı;

basınçlı götürme düzenleri için

$$s = \frac{\mu \cdot L_{ind} \cdot v_{hava}^2}{d_b} \quad (9)$$

değerine bağlıdır (Şekil 6).



Şekil 6. Basınçlı götürme düzenleri için  $\beta$  katsayısı.

emmeli götürme düzenlerinde  $\beta$ 'nın değeri sabittir;  $\beta = 1,5 \cdot 10^{-7}$

$$s \cong 46 \cdot 10^6$$

Bu değer için de Şekil 6'dan  $\beta = 1,8 \cdot 10^{-7}$  olur.

(7) bağıntısında derlenen veriler yardımcı ile hesaplandığında ise sonuç,

$$p_g = 3,22 \cong 3,5 \text{ (bar)}$$

### 5.8. Kompresörün Ana Hava Besleme Borusundaki Gerekli Hava Basıncı

$$P_k = P_w \cdot \alpha + P_{kayıp} \quad (\text{ata}) \quad (10)$$

$P_w$ ; çalışma basıncı (bar veya ata)

$\alpha$ ;  $1,15 - 1,25$  kayıp katsayısı

$P_{kayıp}$ ; Ana besleme şebekesi basınç kaybı

Kompresör için  $p_{kayıp} \cong 0,3 \text{ kg/cm}^2$  alınabilir.

$$P_k = 3,5 \text{ bar}$$

### **5.9. Gerekli Kompresör Kapasitesi**

Basınçlı hava şebekesindeki hava miktarını sağlayacak olan kompresör kapasite hesabı ise aşağıdaki gibidir.

$$v_0 = v_{hava} \cdot \alpha' \quad (11)$$

$$v_0 = \frac{\pi d_b^2}{4} \cdot v_{hava} \cdot \alpha' \cdot 60 ; m^3/dk$$

Burada  $\alpha' = 1,1$  sistemdeki kaçakları göz önüne alan katsayıdır.

$$v_0 = 1,88 \cong 2 ; m^3/dk$$

Not  $v_{hava} = 0,03 \text{ m}^3/\text{sn}$  hesaplandı (hava tüketimi)

$$v_0 = 0,03 * 1,1 * 60 = 1,98 \text{ m}^3/dk$$

$$v_0 \cong 2 \text{ m}^3/dk$$

## **6. AMASRA MÜESSESESİ UYGULAMASI**

Sistemin tasarım aşamasının tamamlanmasının ardından, TTK'nın yeraltı üretim birimlerinin gereksinim duyduğu makina ve donanımın önemli bir bölümünün üretildiği Maden Makinaları Fabrikası İşletme Müdürlüğü (MAZ) bünyesindeki atölyelerde üretimi yapılmıştır.

Temmuz 2007'de ilk olarak Amasra Müessesesinde uygulama başlamıştır. Şekil 7 ve 8'de kül tankının görüntüleri, Şekil 9'da da boyutları verilmektedir. Ayrıca, Şekil 10 - 12'de yerindeki uygulamalardan örnekler görülmektedir.

## **7. SONUÇ VE ÖNERİLER**

Göçertmeli üretim yönteminin uygulandığı yangına müsait damarlarda göçüğe kül püskürme uygulaması kömür madenciliğinde yeni bir uygulama olup sistem halen TTK'da uygulanmaktadır. Amasra Müessesesinde 1, Karadon Müessesesinde 3, Armutçuk Müessesesinde 2 ve Kozlu Müessesesinde 1 adet olmak üzere, kurum genelinde 7 adet kül tankı mevcut olup faal bir şekilde kullanılmaktadır.

Sistemin tasarımını ve imalatı tamamıyla TTK bünyesinde gerçekleşmiştir.

Sistemin tasarımında ocak yangınlarında oksidasyon kuramı gözönüne alınarak, o temelde çalışmalar yapılmıştır.

Sistemin kullanılmaya başlandığı Temmuz 2007'den bu yana uygulamanın gerçekleştirildiği üretim ayaklarında herhangi bir yanım veya kızışma belirtilerine rastlanmamıştır.

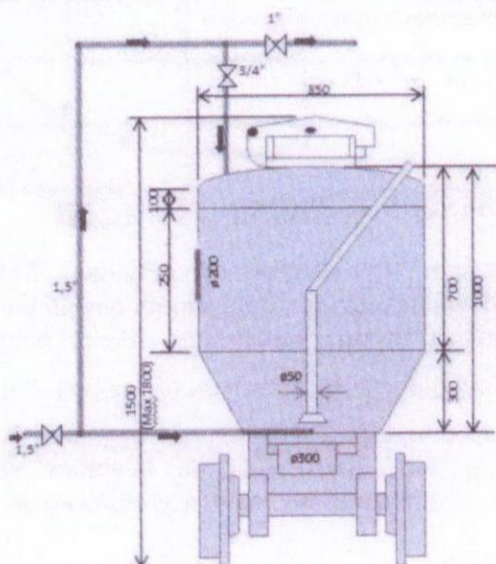
Sistem aynı zamanda toz patlamalarına karşı galeri ve taban yollarına serpileren taş tozu uygulamasında da kullanılabilmektedir.



Şekil 7. Oluk dibindeki kül tankı.



Şekil 8. Kül tankı.



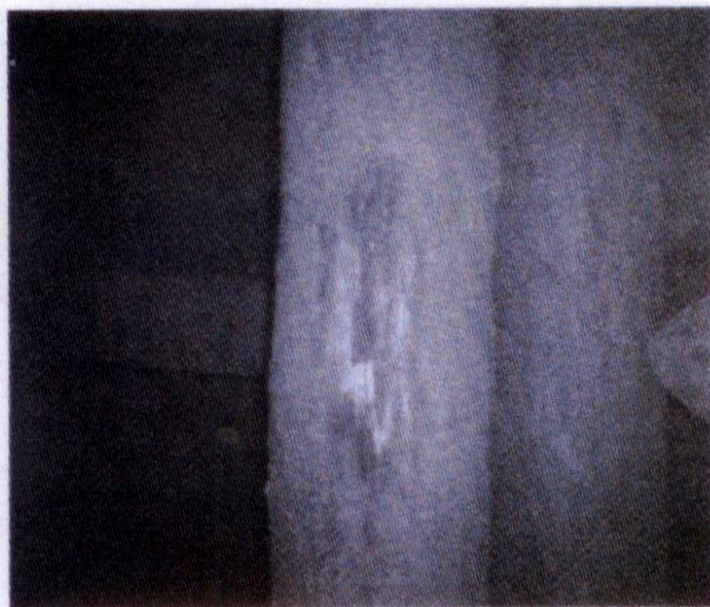
Şekil 9. Kül tankının boyutlandırması.



Şekil 10. Ayak içersinde kül uygulaması.



Şekil 11. Külün püskürtülmesi.



Şekil 12. Kül püskürtme uygulamasının ahşap tahkimat direğindeki katman olarak kaplamasının görünümü.

## KAYNAKLAR

- Değirmenci, A.** (1992) Kozlu Müessesesindeki ocak yangınları ve alınan önlemler. *Türkiye 8. Kömür Kongresi*, Zonguldak.
- Didari, V.** (1986) Yeraltı ocaklarında kömürün kendiliğinden yanması ve risk endeksleri, *Madencilik*, Cilt XXV, Sayı 4, s. 29-34.
- Didari, V.** (1988) Kömürün kendiliğinden yanmasına karşı nem tutucu tuzların kullanılması ve bazı öneriler, *Madencilik*.
- Eroğlu, H.N. ve Gouws, M.J.** (1993) Kömürün kendiliğinden yanmasına ait kuramlar. *Madencilik Dergisi*, Cilt XXXII, Sayı 2, s. 15-18.
- Güney, M.** (1965) Yüksek genişlemeli köpük ve Zonguldak Havzasında tatbik imkanları, *Madencilik Dergisi*, Sayı 5, s. 15-18.
- İmrak, E.** (2009) MAK 419 Transport teknigi ders notları, İTÜ Makina Fakültesi (<http://www.mkn.itu.edu.tr/~gerdeme/MAK419/MAK419-13.pdf>)
- Spivakovsky, A., Dyachkov, V. ve Cerit M.** (1976) *Götürücüler*, TMMOB Makina M. O. Yayınları, Yayın No. 105, Ankara.